



СООБЩЕНИЯ
ОБЪЕДИНЕННОГО
ИНСТИТУТА
ЯДЕРНЫХ
ИССЛЕДОВАНИЙ
ДУБНА

с 344. 19

6/II-78

Б - 448

P13 - 11045

661/2-78

В.А.Беляков, С.А.Долгий, А.Н.Зубарев,
Т.Канарек, А.Г.Кочуров, Н.А.Коржев,
А.А.Кукушкин, В.Б.Любимов, А.Г.Мурызин,
А.В.Никитин, А.М.Рождественский, Н.А.Смирнов,
В.П.Соколов, П.П.Темников, Б.А.Шахбазян

РАСПРЕДЕЛЕНИЕ ИНДУКЦИИ
МАГНИТНОГО ПОЛЯ
И ОПТИЧЕСКИЕ КОНСТАНТЫ
ДВУХМЕТРОВОЙ ПРОПАНОВОЙ
ПУЗЫРЬКОВОЙ КАМЕРЫ

1977

P13 - 11045

В.А.Беляков, С.А.Долгий, А.Н.Зубарев,
Т.Канарек, А.Г.Кочуров, Н.А.Коржев,
А.А.Кукушкин, В.Б.Любимов, А.Г.Мурызин,
А.В.Никитин, А.М.Рождественский, Н.А.Смирнов,
В.П.Соколов, П.П.Темников, Б.А.Шахбазян

РАСПРЕДЕЛЕНИЕ ИНДУКЦИИ
МАГНИТНОГО ПОЛЯ
И ОПТИЧЕСКИЕ КОНСТАНТЫ
ДВУХМЕТРОВОЙ ПРОПАНОВОЙ
ПУЗЫРЬКОВОЙ КАМЕРЫ

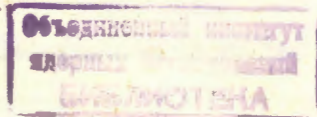


Таблица 1

Составляющая магнитного поля	Среднее значение показаний датчика Холла в мВ	Среднеквадратичная ошибка отдельного измерения
H_x	11,0413	0,0045
H_y	-3,8881	0,0607
H_z	180,6245	0,0225

Перевод показаний датчика Холла из мВ в Гс осуществлялся по формуле:

$$H(\text{ Гс }) = Z_1 [U(\text{ мВ }) + A]^B$$

Численные коэффициенты подбирались методом наименьших квадратов по результатам градуировки датчика Холла с помощью ядерного магнитометра.

Калибровочные характеристики датчика Холла представлены в табл. 2.

Поскольку камера выполнена из стали марки IX18H9T, магнитная проницаемость которой $\mu \approx 1$, то напряженность магнитного поля и магнитная индукция практически совпадают.

На рис. 1-6 приведены характерные картины распределения напряженности магнитного поля в объеме, занимаемом камерой.

Из этих кривых мы заключаем, что имеется хорошая симметрия относительно центра камеры. Максимальное отклонение для симметричных точек не превышает 400 Гс, а для большинства точек оно не более 100 Гс.

Поэтому мы, как и ранее, будем использовать измеренные значения напряженности магнитного поля только для четверти объема. По программе GEOFIT было обсчитано около 200 треков, расположенных в разных частях рабочего объема и имеющих разные характеристики /длина трека, угол погружения и т.д./. Результаты обсчета этих треков показали, что замена измеренных значений поля во всем объеме на одну любую четверть приводит к изменениям в значениях импульсов

Беляков В.А. и др.

P13 - 11045

Распределение индукции магнитного поля и оптические константы двухметровой пропановой пузырьковой камеры

Приведены результаты новых измерений магнитного поля двухметровой пропановой камеры после ее сборки в канале пучка релятивистских ядер. Магнитное поле определялось с помощью датчика Холла с точностью 15 Гс. Показано, что оптические константы позволяют восстанавливать пространственные координаты точек в камере с точностью 10^{-2} см в горизонтальной плоскости и $5 \cdot 10^{-2}$ см по вертикали.

Работа выполнена в Лаборатории высоких энергий ОИЯИ.

Сообщение Объединенного института ядерных исследований. Дубна 1977

Belyakov V.A. et al.

P13 - 11045

Magnetic Field Induction Distribution and Optical Constants of a Two-Meter Propane Bubble Chamber

The results of magnetic field measurements in the 2m propane bubble chamber after its installation in the channel of a relativistic nuclear beam are given. The magnetic field was determined with the accuracy of 15 G. It is shown that the optical constants permit the reconstruction of point space co-ordinates in the chamber with the accuracy of 10^{-2} cm for a horizontal plane and $5 \cdot 10^{-2}$ cm - vertically.

The investigation has been performed at the Laboratory of High Energies, JINR.

Communication of the Joint Institute for Nuclear Research. Dubna 1977

Таблица 2

Параметры	$H_{\text{фит}}$	$H_{\text{изм}}$	$U_{\text{Холла}}$ " - "	$U_{\text{Холла}}$ " + "	$H_{\text{изм}}$	$H_{\text{фит}}$	Параметры
$Z_1 = 132,84$	742	740	6,08	5,6	729	731	$Z_1 = 128,51$
$B = 0,975$	I247	I249	I0,18	9,8	I249	I247	$B = 0,985$
$A = -0,24$	I2155	I2155	I7,67	I7,27	I2155	I2156	$A = 0,24$
	2480	2480	20,37	19,9	2475	2475	
	2921	2909	24,04	23,6	2908	2917	
$Z_1 = 151,55$	3528	3520	29,44	29,02	3520	3525	$Z_1 = 160,64$
$B = 0,931$	4141	4147	34,97	34,6	4147	4143	$B = 0,917$
	4764	4774	40,66	40,32	4774	4762	
	5285	5295	45,46	45,17	5295	5290	
	5859	5863	50,78	50,5	5864	5860	
$A = 0$	6321	6321	55,1	54,86	6322	6322	$A = 0$
	7071	7005	61,64	61,44	7005	7014	
	7941	7950	70,76	70,6	7950	7941	
	8408	8411	75,3	75,14	8411	8406	
$Z_1 = 158,69$	9020	9022	81,28	81,14	9022	9017	$Z_1 = 162,33$
	9516	9514	86,16	86,04	9515	9514	
	I0014	I0014	91,08	91,02	I0014	I0015	
	I0516	I0509	96,06	96	I0510	I0515	
$B = 0,919$	I0998	I0997	I00,86	I00,9	I0997	II004	$B = 0,914$
	II484	II478	I05,72	I05,7	II478	II482	
	II958	II955	II0,48	II0,5	II955	II957	
	I2422	I2416	II5,16	II5,22	I2416	I2423	
	I2903	I2907	I20,02	I20,18	I2907	I2911	$A = 0$
	I3339	I3340	I24,44	I24,57	I3340	I3341	
	I3835	I3835	I29,48	I29,64	I3835	I3837	
$A = 0$	I5102	I5102	I42,38	I42,5	I5102	I5086	

При $H=0$, $U_{\text{Холла}} = -0,24 \text{ мВ}$.

$H_{\text{изм}}$ – заданные значения поля, а $H_{\text{фит}}$ – подобранные значения.

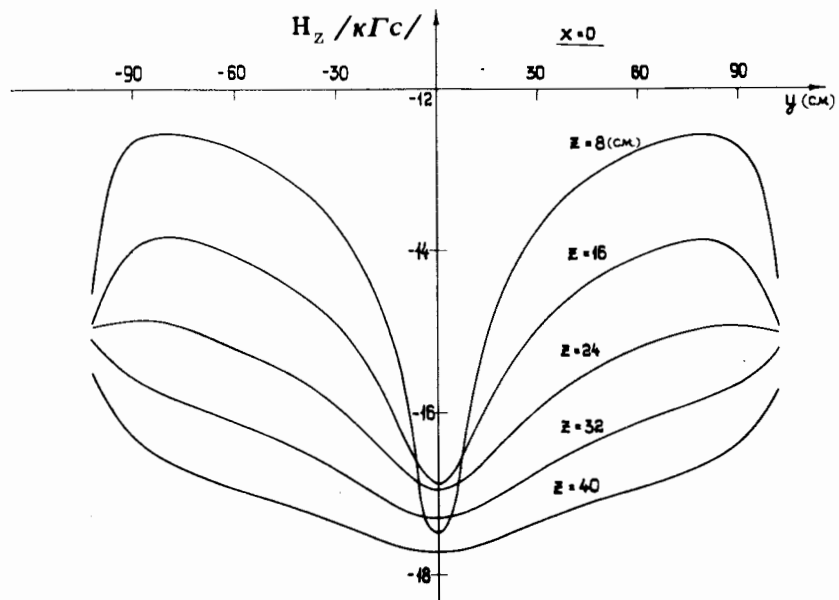


Рис. 1. Зависимость H_z от y при $x = 0$ и $z = 8, 16, 24, 32, 38$.

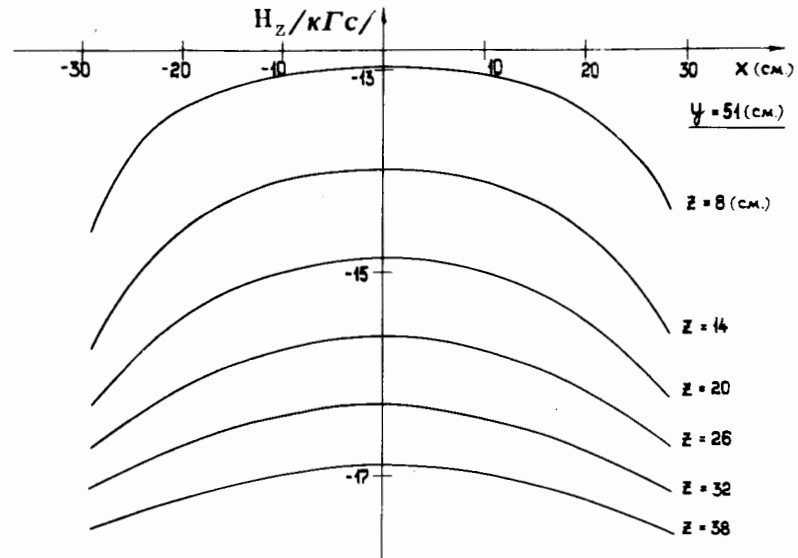


Рис. 2. Зависимость H_z от x при $y = 51$ и $z = 8, 14, 20, 26, 32, 38$.

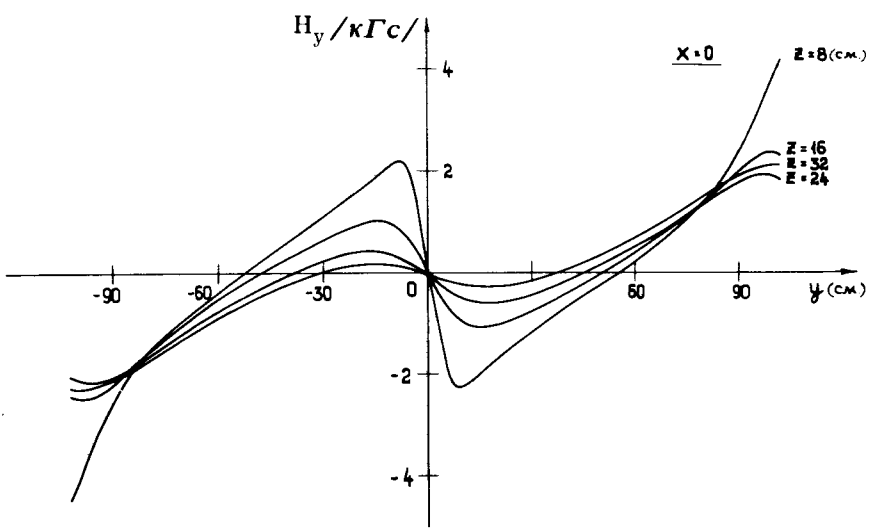


Рис. 3. Зависимость H_y от Y при $X = 0$ и $Z = 8, 16, 32, 24$.

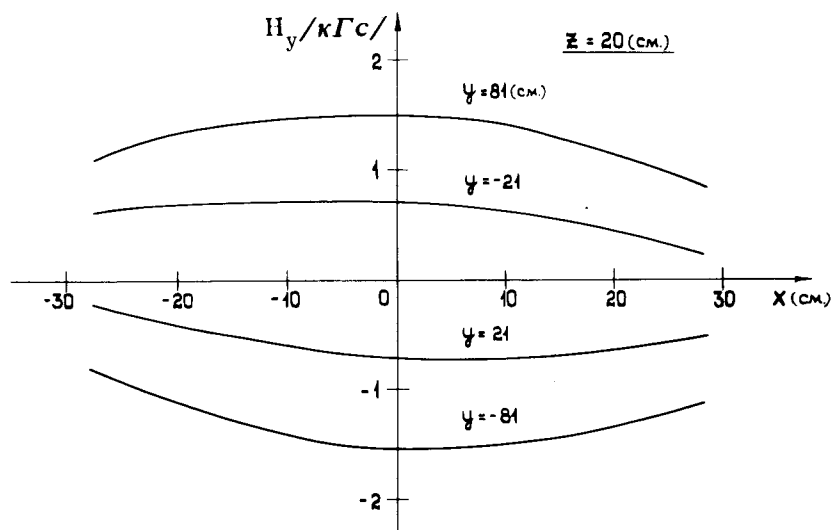


Рис. 4. Зависимость H_y от X при $Z = 20$ и $Y = \pm 21, \pm 81$.

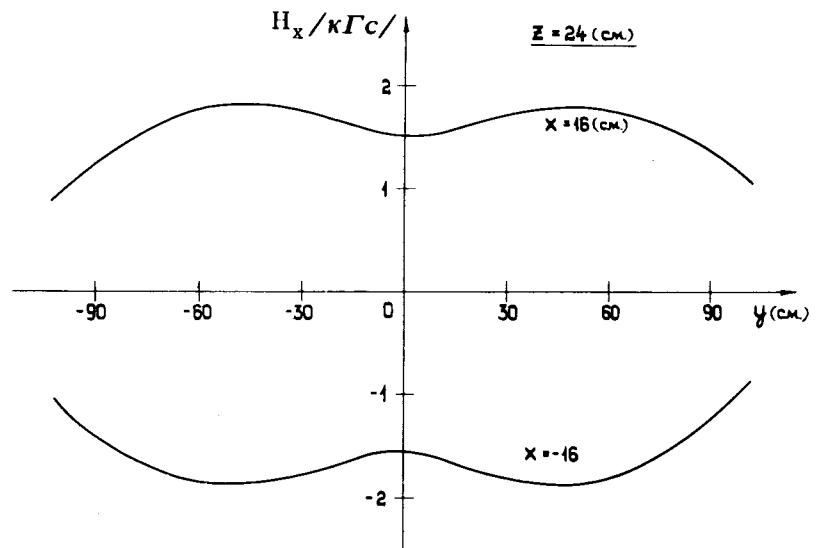


Рис. 5. Зависимость H_x от Y при $Z = 24$ и $X = \pm 16$.

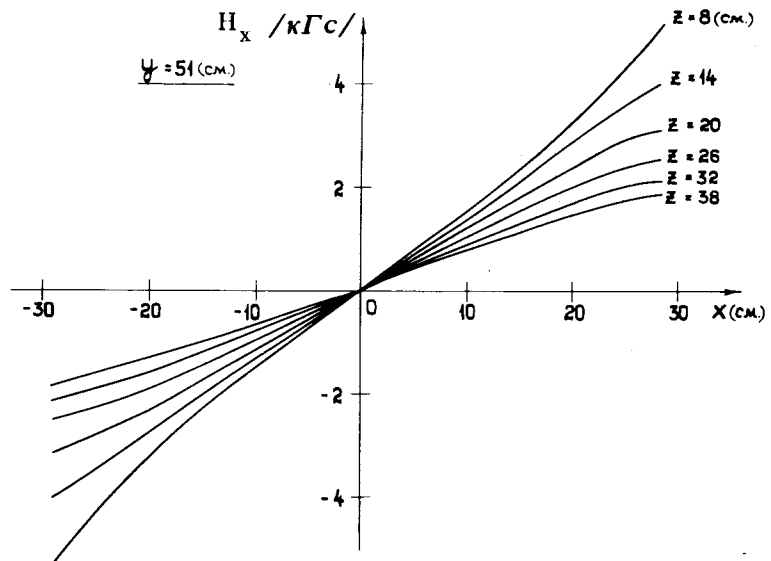


Рис. 6. Зависимость H_x от X при $Y = 51$; $Z = 8, 14, 20, 26, 32, 38$.

частиц всего на несколько МэВ/с и изменению других характеристик не более чем на 3%.

Выходы

1. Замена основных деталей магнита не приводит к изменению средней магнитной индукции при том же токе питания магнита.

2. Изменения полярности тока питания магнита приводят к изменению направления составляющих вектора магнитной индукции.

3. Распределение магнитной индукции остается симметричным и допускает использование измеренных значений для одной четверти объема при расчетах для всего объема камеры.

2. ОПРЕДЕЛЕНИЕ ОПТИЧЕСКИХ КОНСТАНТ

Оптические константы определялись по программе, описанной в работе^{/4/}. Исходными данными служили координаты реперных крестов, измеренные на трех наборах фотопластинок тремя лаборантами. Использование трех наборов фотопластинок имело целью устранить влияние неплотного прилегания фотоэмulsionционного слоя к прижимному стеклу объектива фотокамеры. Для каждого набора фотографий определялись свои оптические константы; значения, полученные при фитировании, оказались близкими у всех трех наборов. В табл. 3 приведены усредненные по всем наборам значения оптических констант /смысл обозначений тот же, что и в^{/4/}/. Анализ полученных констант проводился по измерениям изображений крестов на фотопластинках из второго набора.

Оценкой правильности подбора констант может служить величина радиуса кривизны релятивистских треков, сфотографированных при выключенном магнитном поле.

Таблица 3

№ объектива	X_0 (см.)	Y_0 (см.)	M_0	d_1 (см^{-2})	N_0 (см^{-1})	β_4 (см^{-3})
1	24,464 ± 0,004	-66,059 ± 0,006	10,650 ± 0,003	-0,00068 ± 0,00034	0,07552 ± 0,00095	-0,000116 ± 0,00098
2	-24,463 ± 0,004	-66,312 ± 0,005	10,649 ± 0,003	-0,00088 ± 0,00037	0,07459 ± 0,00097	-0,0000737 ± 0,000102
3	- 0,0947 ± 0,006	-39,218 ± 0,005	10,653 ± ,005	-0,00027 ± 0,00095	0,07499 ± 0,00164	-0,000156 ± 0,000288
4	- 0,431 ± 0,007	39,160 ± 0,005	10,682 ± 0,005	-0,00254 ± 0,00101	0,07449 ± 0,00118	0,000162 ± 0,000276
5	23,753 ± 0,004	66,349 ± 0,005	10,676 ± 0,003	-0,00083 ± 0,00030	0,0755 ± 0,00098	- 0,0000954 ± 0,0000895
6	- 25,031 ± 0,004	66,020 ± 0,006	10,693 ± 0,003	-0,00072 ± 0,00034	0,07548 ± 0,00087	-0,000115 ± 0,000089

Для этой цели было измерено около ста следов дейтонов с импульсом 7 ГэВ/с. После отбора по углам входа в камеру и качеству измерений для анализа использовался лишь 71 трек. Радиус ложной кривизны определялся по формуле

$$R = \left(\frac{1}{N} \sum_{i=1}^N \frac{1}{r_i} \right)^{-1},$$

где r_i - радиус кривизны i -го трека, взятый с его знаком, N - число треков. Величина $1/r_i$ пропорциональна углу отклонения трека, поэтому случайные отклонения от многократного рассеяния и ошибок измерения при усреднении по всем трекам не дают вклада в R . Средний радиус ложной кривизны получился равным $/1,94 \pm 1,12 \cdot 10^3\text{ м}$, что примерно в четыре раза меньше радиуса кривизны из-за многократного рассеяния для дейтона с импульсом 7 ГэВ/с. Это значение ведет к ошибке в определении импульса меньше 1% для одно зарядной частицы с импульсом 7 ГэВ/с.

В табл. 4 приведены средние разности восстановленных $\{x_B, y_B, z_B\}$ и истинных $\{x_i, y_i, z_i\}$ координат крестов и среднеквадратичные ошибки восстановления пространственных координат крестов в микронах для разных пар объективов. В последней строке находятся те же величины, усредненные по всем парам объективов.

Сравнение найденных оптических констант с ранее измеренными^{14/} показывает, что они находятся в хорошем согласии.

В заключение нам приятно поблагодарить профессора М.И.Соловьева за консультации и интерес к этой работе, В.И.Мороза за полезные обсуждения, С.А.Аверичева, Ю.В.Куликова, И.М.Буланова - за содействие в измерении магнитного поля, Е.Н.Кладницкую, И.А.Ивановскую - за организацию измерений и обсуждения, а также лаборантов В.С.Ваксину, Л.И.Жукову и Л.Я.Иванову - за измерения.